

## МАТЕРИАЛЫ ДЛЯ ЭЛЕКТРОННЫХ КОМПОНЕНТОВ

*К. ф.-м. н. М. В. ДМИТРИЕВ*

Украина, г. Одесса, Науч.-исследов. технологич. ин-т «Темп»

Дата поступления в редакцию  
10.07 1998 г.  
Оппонент к. т. н. Л. И. ПАНОВ

# СТЕКЛОКЕРАМИКА С ПРОДУКТОМ ВЗАИМОДЕЙСТВИЯ СТЕКЛА И НАПОЛНИТЕЛЯ: ДИЭЛЕКТРИЧЕСКАЯ ПРОНИЦАЕМОСТЬ

*Рассчитана диэлектрическая проницаемость компонентов по величине измеренной диэлектрической проницаемости стеклокерамики различного состава.*

*The components dielectric permittivity in magnitude of measured dielectric permittivity of different composition glass ceramics has been calculated.*

В работах [1–3 и др.] приведены методики расчета параметров стеклокерамического композиционного материала (СКМ). Было показано, что для расчета параметров СКМ пригодной является лишь формула Лихтенеккера и Ротера [2]. Однако простая подстановка в это уравнение параметров исходных компонентов без учета влияния на них условий получения СКМ дает результаты, существенно отличающиеся от экспериментальных данных.

В данной работе предлагается способ количественного определения диэлектрической проницаемости компонентов, сформированных в синтезированной композиционной стеклокерамике. Рассматривается СКМ на основе стекла, наполнителя и материала, кристаллизуемого при их частичном взаимодействии, содержащий по одному из этих компонентов, при разной доле пор и компонентов. Также проводится анализ влияния составляющих на диэлектрическую проницаемость СКМ.

Образцы для исследований готовились в виде таблеток по методике, описанной в работе [2].

**Результаты эксперимента.** Диэлектрическая проницаемость исследуемого трехкомпонентного пористого СКМ ( $\epsilon_{3\pi}$ ) определялась согласно ОСТ 110303–86 по величине электрической емкости, измеренной с помощью прибора Е7-12 на частоте 1 МГц с учетом размеров образцов. Эти данные

приведены в **таблице** в зависимости от массовой доли стекла  $m_c$ , закладываемой при изготовлении образцов (доля наполнителя  $m_n$  равна  $1-m_c$ ). Максимального значения  $\epsilon_{3\pi}$  достигает при  $m_c=0,5$ . При таком составе величина линейной усадки  $\Delta l_0$  также максимальна и ей соответствует отсутствие пор в изучаемом СКМ (см. [2, табл. 2]).

Наблюдаемое поведение величины диэлектрической проницаемости СКМ согласуется с зависимостями электросопротивления [2] и диэлектрических потерь [3] от содержания стекла. Оно объясняется ростом доли пор, механизмы образования которых объяснены в [2].

**Результаты расчетов.** В соответствии с [4] диэлектрическая проницаемость 3-компонентного пористого композита ( $\epsilon_{3\pi}$ ) определяется выражением

$$\ln \epsilon_{3\pi} = y_{c3\pi} \ln \epsilon_{oc} + y_{n3\pi} \ln \epsilon_n + y_\phi \ln \epsilon_\phi + y_p \ln \epsilon_p, \quad (1)$$

где  $y$  — объемная доля (в индексах с — стекло, н — наполнитель, ф — новая фаза, п — поры);

$\epsilon_n, \epsilon_\phi$  — диэлектрическая проницаемость наполнителя и новой фазы;

$\epsilon_{oc}, \epsilon_p$  — эффективная диэлектрическая проницаемость остаточного стекла и пор.

Величина  $\epsilon_{oc}$  отражает диэлектрическую проницаемость стекла, оставшегося после ухода из него части окислов на формирование  $\alpha$ -цельзиана.

Величина  $\epsilon_p$  определяется диэлектрической проницаемостью газового наполнения и влиянием границ «газ — стекло», «газ — стекло+наполнитель» и «газ — наполнитель», образующихся в зависимости от соотношения «стекло:наполнитель».

Объемные доли составляющих определены в [2]. Известна также величина диэлектрической проницаемости оксида алюминия — 11 [1]. Для остальных компонентов ее нужно определить. Формулы для такого расчета в литературных источниках отсутствуют.

Диэлектрическая проницаемость СКМ и его компонентов

$m_c$	$\epsilon_{3\pi}$	$\epsilon_n$ [1]	$\epsilon_\phi$	$\epsilon_{oc}$	$\epsilon_p$	$\epsilon_2$	$\epsilon_{2n}$	$\epsilon_{2n}/\epsilon_{3\pi}$	$y_{c3\pi}/y_{c2n}$	$y_\phi$
0,40	5,643	11	6,72	8,38	0,88	9,90	5,72	1,0136	0,879	0,047
0,42	6,081	"	"	"	0,90	9,85	6,18	1,0163	0,871	0,055
0,45	8,121	"	"	"	1,00	9,77	8,27	1,0183	0,878	0,065
0,50	9,349	"	"	"	—	9,64	9,64	1,0311	0,831	0,107
0,55	7,554	"	"	"	1,05	9,51	7,75	1,0259	0,860	0,088
0,60	4,980	"	"	"	1,05	9,38	5,10	1,0241	0,858	0,079

Для проведения расчетов допустим, что диэлектрическая проницаемость наполнителя и  $\alpha$ -цельзиана не зависит от соотношения «стекло:наполнитель». Кроме того, предположим, что в области достаточно большого содержания стекла ( $m_c > 0,5$ ), когда оно образует сплошную объемную матрицу, также постоянны величины  $\epsilon_{oc}$ ,  $\epsilon_n$  и состав остаточного стекла. Для этой области составов поры окружены только стеклом, поскольку его объемная доля велика, и газовое наполнение пор одинаково.

Мера изменения состава стекла из-за образования  $\alpha$ -цельзиана определяется отношением объемных долей остаточного и исходного стекла  $y_{c3n}/y_{c2n}$  ( $y_{c2n}$  – объемная доля стекла в двухкомпонентном – без  $\alpha$ -цельзиана – пористом СКМ; рассчитана в работе [3]). Это отношение для  $m_c = 0,55$  и  $m_c = 0,60$  отличается на  $\sim 0,2\%$  (см. таблицу), а для диапазона составов  $0,4\dots 0,6$  его величина практически не изменяется и равна  $0,863 \pm 0,013$ .

Учитывая это и слабую зависимость диэлектрической проницаемости стекла от его состава, можно считать, что величина  $\epsilon_{oc}$  является практически одинаковой для всех исследуемых составов СКМ.

В связи с изложенным, согласно (1) для СКМ с  $m_c = 0,50$ ,  $m_c = 0,55$  и  $m_c = 0,60$  (составы 1, 2, 3), запишем систему уравнений с тремя неизвестными ( $\epsilon_{oc}$ ,  $\epsilon_\phi$  и  $\epsilon_n$ ):

$$\ln \epsilon_{3n1} = y_{c3n1} \ln \epsilon_{oc} + y_{h3n1} \ln \epsilon_h + y_{\phi1} \ln \epsilon_\phi; \quad (2)$$

$$\ln \epsilon_{3n2} = y_{c3n2} \ln \epsilon_{oc} + y_{h3n2} \ln \epsilon_h + y_{\phi2} \ln \epsilon_\phi + y_{n2} \ln \epsilon_n; \quad (3)$$

$$\ln \epsilon_{3n3} = y_{c3n3} \ln \epsilon_{oc} + y_{h3n3} \ln \epsilon_h + y_{\phi3} \ln \epsilon_\phi + y_{n3} \ln \epsilon_n, \quad (4)$$

где индексы 1, 2 и 3 соответствуют составам 1, 2 и 3.

Из уравнений (3) и (4) следует, что при  $i=2, 3$

$$\ln \epsilon_n = (\ln \epsilon_{3ni} - y_{c3ni} \ln \epsilon_{oc} - y_{h3ni} \ln \epsilon_h - y_{\phi i} \ln \epsilon_\phi) / y_{ni}. \quad (5)$$

Так как  $\epsilon_n$  для составов 2 и 3 одинаково, получим для диэлектрической проницаемости  $\alpha$ -цельзиана:

$$\begin{aligned} \ln \epsilon_\phi = & \left[ \frac{y_{n2}}{y_{n3}} \ln \epsilon_{3n3} - \ln \epsilon_{3n2} + \ln \epsilon_{oc} \left( y_{c3n2} - \frac{y_{n2}}{y_{n3}} y_{c3n3} \right) + \right. \\ & \left. + \ln \epsilon_h \left( y_{h3n2} - \frac{y_{n2}}{y_{n3}} y_{h3n3} \right) \right] / \left[ \frac{y_{n2}}{y_{n3}} y_{\phi3} - y_{\phi2} \right]. \end{aligned} \quad (6)$$

Подставим сюда выражение для диэлектрической проницаемости остаточного стекла, полученное из (2):

$$\ln \epsilon_{oc} = (\ln \epsilon_{3n1} - y_{h3n1} \ln \epsilon_h - y_{\phi1} \ln \epsilon_\phi) / y_{c3n1}. \quad (7)$$

Тогда получим, что

$$\begin{aligned} \ln \epsilon_\phi = & \left[ \frac{y_{n2}}{y_{n3}} \ln \epsilon_{3n3} - \ln \epsilon_{3n2} + \ln \epsilon_h \left( y_{h3n2} - \frac{y_{n2}}{y_{n3}} y_{h3n3} \right) + \right. \\ & \left. + M(\ln \epsilon_{3n1} - y_{h3n1} \ln \epsilon_h) \right] / [KL], \end{aligned} \quad (8)$$

где для упрощения введены обозначения:

$$L = \frac{y_{n2}}{y_{n3}} y_{\phi3} - y_{\phi2}; \quad (9) \quad M = \frac{y_{c3n2}}{y_{c3n1}} - \frac{y_{n2}}{y_{n3}} \frac{y_{c3n3}}{y_{c3n1}}; \quad (10)$$

$$K = 1 + \frac{y_{\phi1} \left( \frac{y_{c3n2}}{y_{c3n1}} - \frac{y_{n2}}{y_{n3}} \frac{y_{c3n3}}{y_{c3n1}} \right)}{L} = 1 + y_{\phi1} \frac{M}{L}. \quad (11)$$

В результате расчета получено:  $L=-0,06267$ ,  $M=0,7353$ ,  $K=-0,2554$ .

Теперь можем определить величину диэлектрической проницаемости  $\alpha$ -цельзиана. Она составила 6,72, что соответствует диапазону диэлектрической проницаемости 6,5…7 для цельзиановой керамики, синтезируемой при температуре до 1400°C [5, с. 182].

Теперь по формуле (7) можем определить диэлектрическую проницаемость остаточного стекла  $\epsilon_{oc}$  для состава 1 ( $m_c = 0,5$ ) и получим  $\epsilon_{oc} = 8,38$ .

Для проверки предположения о независимости величины  $\epsilon_{oc}$  от соотношения «стекло:наполнитель» определим ее значения при  $m_c = 0,55$  и  $m_c = 0,60$ .

Из (5), исключая  $\epsilon_n$ , получим выражение, справедливое для этих двух составов:

$$\begin{aligned} \ln \epsilon_{oc} = & \left[ \ln \epsilon_{3n3} - \frac{y_{n3}}{y_{n2}} \ln \epsilon_{3n2} + \ln \epsilon_h \left( \frac{y_{n3}}{y_{n2}} y_{h3n2} - y_{h3n3} \right) + \right. \\ & \left. + \ln \epsilon_\phi \left( \frac{y_{n3}}{y_{n2}} y_{\phi2} - y_{\phi3} \right) \right] / \left[ y_{c3n3} - \frac{y_{n3}}{y_{n2}} y_{c3n2} \right]. \end{aligned} \quad (12)$$

В результате расчета также получим  $\epsilon_{oc} = 8,38$ , что подтверждает правильность сделанного предположения.

Найденные величины  $\epsilon_\phi$  и  $\epsilon_{oc}$  позволяют оценить эффективную величину диэлектрической проницаемости пор в СКМ.

Теперь по формуле (5) для составов 1 и 2 можем рассчитать диэлектрическую проницаемость пор. Как и предполагалось, она одинакова и равна 1,05. Это значение выше диэлектрической проницаемости газового наполнения пор, которая более близка к единице. (По-видимому, различие обусловлено влиянием границы «газ – стекло».)

Аналогичный расчет  $\epsilon_n$  можем провести для составов  $m_c = 0,40; 0,42; 0,45$ .

Наблюдаемое снижение  $\epsilon_n$  при уменьшении доли стекла (см. таблицу) можно объяснить, рассматривая рис. 1. При достаточно большом  $m_c$ , когда  $y_{c3n} > y_{h3n}$ , окружением пор является только стекло (рис. 1, а). При сопоставимых долях стекла и наполнителя, когда  $y_{c3n} \approx y_{h3n}$ , поры соприкасаются и со стеклом, и с наполнителем (рис. 1, б). При преобладании доли наполнителя над долей стекла ( $y_{h3n} > y_{c3n}$ ) в СКМ есть поры, окруженные только неспекаемыми частицами наполнителя, и поры, окруженные стеклом и наполнителем (рис. 1, в). Заметим, что свойства неспеченных частиц оксида алюминия, средний размер которых порядка 1 мкм, отличаются от объема материала из-за влияния приповерхностного нарушенного слоя, толщина которого соизмерима с размером частиц.

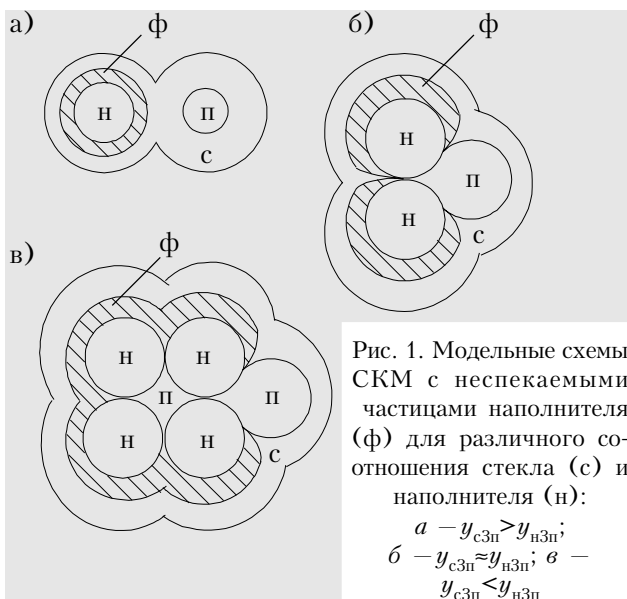
В общем случае эффективную диэлектрическую проницаемость пор в составе СКМ можно выразить уравнением Лихтенеккера и Ротера:

$$\ln \epsilon_n = \sum_{i=1}^n y_{ni} \ln \epsilon_{ni} = y_{nc} \ln \epsilon_{nc} + y_{nch} \ln \epsilon_{nch} + y_{nh} \ln \epsilon_{nh}. \quad (13)$$

Здесь  $y_{nc}$ ,  $y_{nch}$ ,  $y_{nh}$  – объемная доля пор, окруженных только стеклом, только наполнителем и стеклом с наполнителем, соответственно, а  $\epsilon_{nc}$ ,  $\epsilon_{nch}$ ,  $\epsilon_{nh}$  – их диэлектрическая проницаемость.

Уменьшение  $\epsilon_n$  при снижении  $m_c$ , по-видимому, можно объяснить тем, что  $\epsilon_{nc} > \epsilon_{nch} > \epsilon_{nh}$ . Это согласуется с ростом диэлектрических потерь в порах при уменьшении содержания стекла [3].

## МАТЕРИАЛЫ ДЛЯ ЭЛЕКТРОННЫХ КОМПОНЕНТОВ



Для оценки вклада компонентов в диэлектрическую проницаемость СКМ определим диэлектрическую проницаемость такого же материала, но без новой фазы, при наличии пор ( $\epsilon_{2n}$ ) и при их отсутствии ( $\epsilon_2$ ).

В соответствии с уравнением Лихтенекера и Ротера в СКМ без пор на основе только остаточного стекла и наполнителя диэлектрическая проницаемость определяется выражением

$$\ln \epsilon_2 = y_{c2} \ln \epsilon_{oc} + y_{n2} \ln \epsilon_n, \quad (14)$$

где  $y_{c2}, y_{n2}$  — объемные доли стекла и наполнителя двухкомпонентного беспористого СКМ, соответственно; рассчитаны в работе [2].

Для пористого двухкомпонентного материала

$$\ln \epsilon_{2n} = (1 - y_n) \ln \epsilon_2 + y_n \ln \epsilon_n. \quad (15)$$

Результаты расчета приведены в таблице.

**Обсуждение результатов.** Рассчитанные параметры позволяют оценить вклад составляющих в диэлектрическую проницаемость СКМ.

Из сравниваемых параметров, как видно из таблицы,  $\epsilon_2$  принимает наибольшие значения. Его уменьшение при увеличении доли стекла обусловлено тем, что  $\epsilon_{oc} < \epsilon_n$ .

Из сопоставления величин  $\epsilon_2$  и  $\epsilon_{2n}$  видно, что поры существенно снижают диэлектрическую проницаемость СКМ, что связано с их низкой диэлектрической проницаемостью.

Сравнивая величины  $\epsilon_{2n}$  и  $\epsilon_{3n}$  можно увидеть, что замена части стекла и наполнителя на  $\alpha$ -цельзиан приводит к снижению диэлектрической проницаемости СКМ. Это обусловлено тем, что  $\epsilon_\phi < \epsilon_{oc}$  и  $\epsilon_\phi < \epsilon_n$ .

Степень изменения диэлектрической проницаемости СКМ из-за образования  $\alpha$ -цельзиана отражает отношение  $\epsilon_{2n}/\epsilon_{3n}$ , зависимость которого от массового содержания стекла идентична зависимости  $y_\phi(m_c)$ .

По аналогии с формулами для  $y_\phi$ , полученными в [2, 3], для нашего случая запишем:

$$y_{\phi\epsilon} = \frac{\ln \frac{\epsilon_{3n}}{\epsilon_{2n}}}{\ln \epsilon_\phi - k \ln \epsilon_n - (1 - k) \ln \epsilon_{oc}}, \quad (16)$$

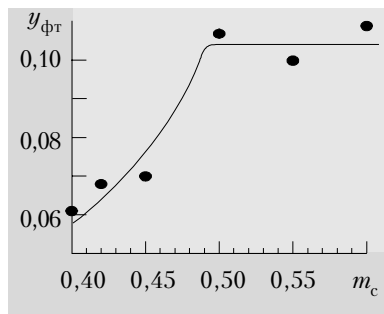


Рис. 2. Зависимость объемной доли  $\alpha$ -цельзиана в твердой составляющей СКМ от массовой доли стекла

где  $k$  — объемная доля наполнителя в составе новой фазы;  $k = 0,238$  [2].

При отсутствии пор числитель формулы следует заменить на  $\ln(\epsilon_3/\epsilon_2)$ .

Полученные значения объемной доли  $\alpha$ -цельзиана приведены в таблице. Они практически совпадают со значениями  $y_\phi$ , рассчитанными в [2].

Рассмотрим влияние объемной доли стекла на  $y_\phi$ . Для этого определим объемную долю  $\alpha$ -цельзиана в твердой составляющей СКМ  $y_{\phi\epsilon}$  по формуле

$$y_{\phi\epsilon} = y_\phi / (1 - y_n). \quad (17)$$

Результаты расчета  $y_{\phi\epsilon}$  представлены на **рис. 2**. Здесь видно, что объемная доля  $\alpha$ -цельзиана в твердой составляющей СКМ практически не зависит от величины массовой доли стекла в области составов  $m_c \geq 0,5$ . По-видимому, это связано с компенсирующим действием роста толщины стекла вокруг частиц наполнителя и уменьшением количества последних: рост толщины стекла способствует увеличению  $y_{\phi\epsilon}$ , а уменьшение количества наполнителя — снижению ее за счет уменьшения суммарной площади прослоек  $\alpha$ -цельзиана. При снижении доли стекла в области  $m_c < 0,5$  наблюдается спад  $y_{\phi\epsilon}$  (примерно вдвое в диапазоне 0,5...0,4) из-за недостатка стекла для обволакивания всех частиц наполнителя, т. к. доля  $y_{c3n}$  уменьшается.

\*\*\*

Таким образом, предложены способы определения диэлектрической проницаемости компонентов и проведен анализ их влияния на диэлектрическую проницаемость СКМ.

### ИСПОЛЬЗОВАННЫЕ ИСТОЧНИКИ

1. Дмитриев М. В. Влияние концентрации компонентов и пор на диэлектрическую проницаемость стеклокерамики // Технология и конструирование в электронной аппаратуре. — 1997. — № 4. — С. 34—38.

2. Дмитриев М. В. Стеклокерамика с продуктом взаимодействия стекла и наполнителя: электросопротивление // Там же. — 1998. — № 3—4. — С. 56—61.

3. Дмитриев М. В. Стеклокерамика с продуктом взаимодействия стекла и наполнителя: диэлектрические потери // Там же. — 1999. — № 2—3. — С. 44—48.

4. Lichtenegger K., Rother K. Die herleitung des logarithmischen mischungsgesetzes des allgemeinen prinzipien der stationaren stromung // Physikaliche Zeitschrift. — 1931. — Bd 32, N 6. — S. 255—267.

5. Балкевич В. Л. Техническая керамика. — М. : Стройиздат, 1984.